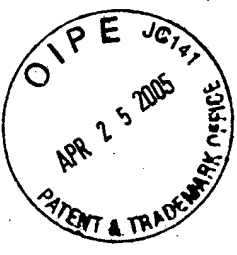


Fig. 1



human	N-cad	DWVIPPINLPENSRGPFQELVIRSDRDKNLSRLSVTGPADQPPTGIFILNPISGQLSVTKPLDREQ
mouse	N-cad	DWVIPPINLPENSRGPFQELVIRSDRDKNLSRLSVTGPADQPPTGIFILNPISGQLSVTKPLDREL
cow	N-cad	DWVIPPINLPENSRGPFQELVIRSDRDKNLSRLSVTGPADQPPTGIFILNPISGQLSVTKPLDREL
human	P-cad	DWVAPISVPENSGKGFPPQRLNQLKSNKDRDTKIFYISITGPADSPPEGVFAVEKETGWLLLNKPLDREE
mouse	P-cad	EWVMPPIFVPENSGKGFPPQRLNQLKSNKDRGTKIFYISITGPADSPPEGVFTIEKESGWLLHMPDREK
human	E-cad	DWVIPPISCPENEGKGFPPKNLVQIKSNKDEKGVFYISITGQADTPPVGVFIERETGWLKVTEPLDRER
mouse	E-cad	DWVIPPISCPENEGKGFPPKNLVQIKSNRDKETKVFYISITGQADKPPVGVFIERETGWLKVTEPLDREA
human	N-cad	IARFHLRAHVDINGNQVENPIDIVINVIDMNDNRPEF
mouse	N-cad	IARFHLRAHVDINGNQVENPIDIVINVIDMNDNRPEF
cow	N-cad	IARFHLRAHVDINGNQVENPIDIVINVIDMNDNRPEF
human	P-cad	IAKYELFGHVSSENGASVEDPMNISIIVTDQNDHKPKF
mouse	P-cad	IVKYELGHVSENGASVEEPMNISIIVTDQNDNKPKF
human	E-cad	IATYTLFHAVSSNGNAVEDPMEILITVTDQNDNKPEF
mouse	E-cad	IAKYILYHAVSSNGEAVEDPMEIVITVTDQNDNRPEF

Fig. 2

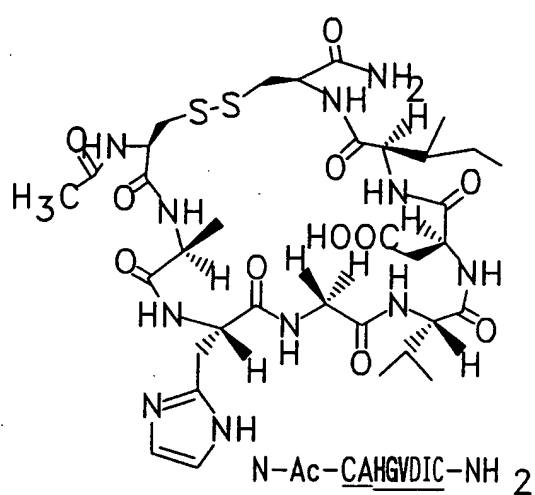
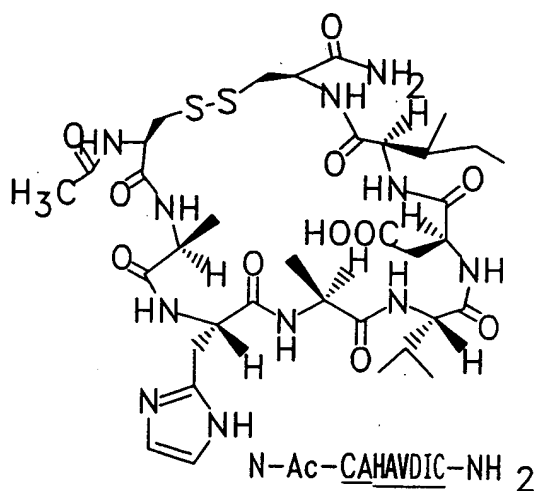
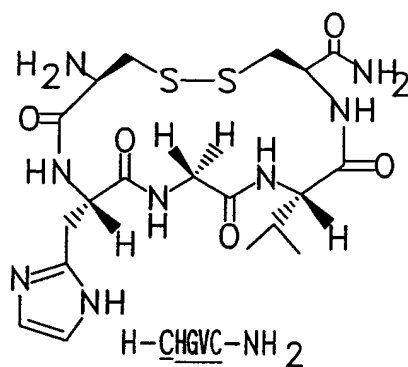
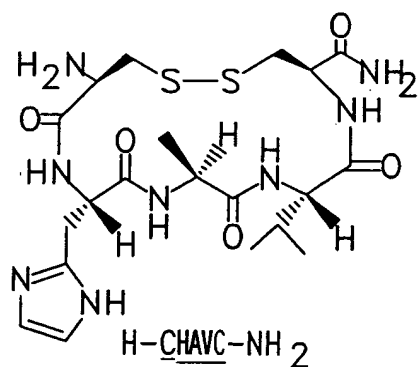
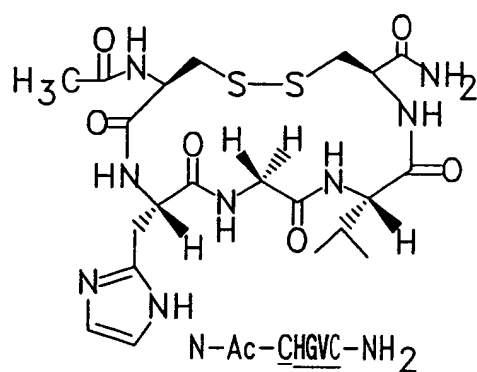
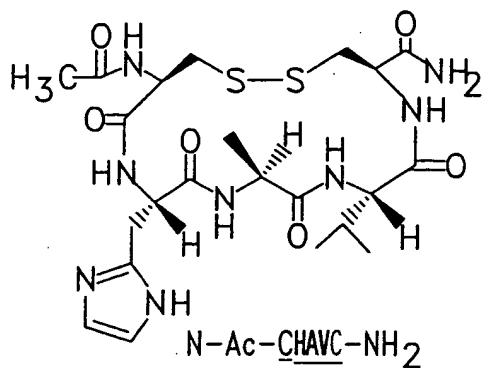
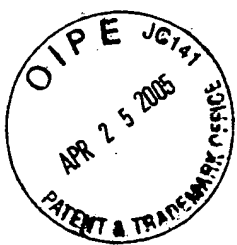


Fig. 3A

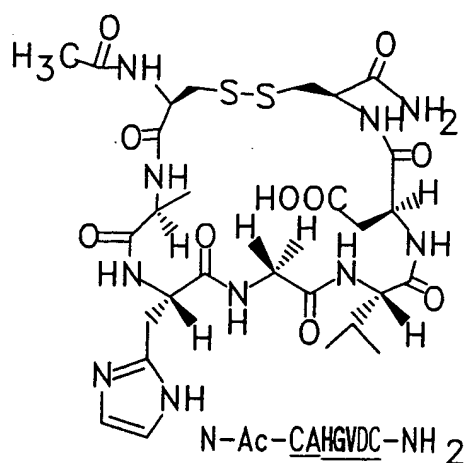
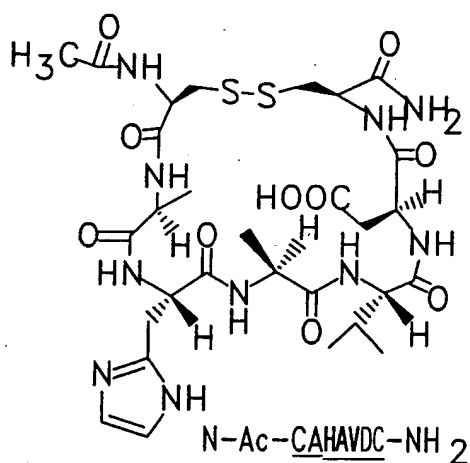
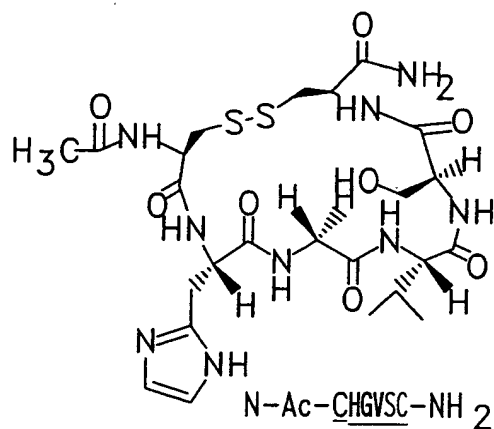
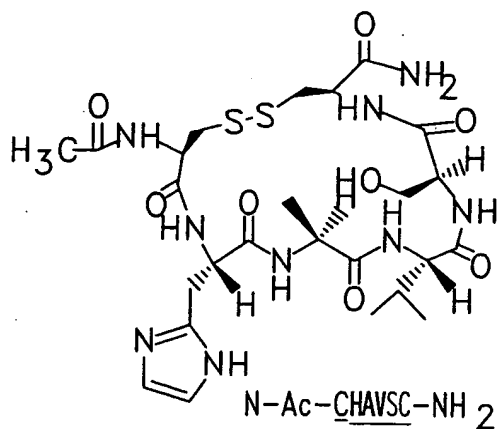
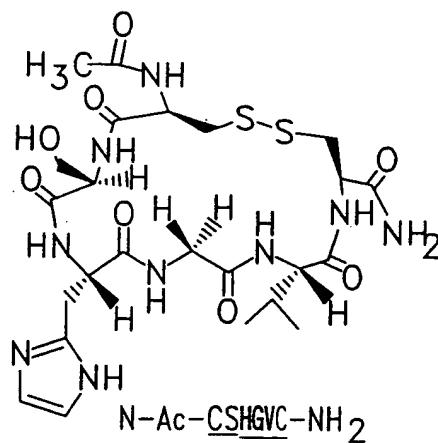
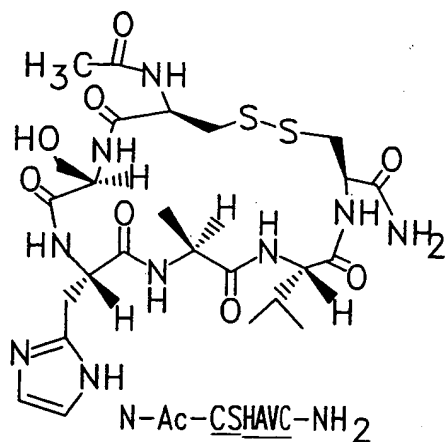
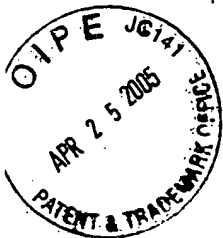


Fig. 3B

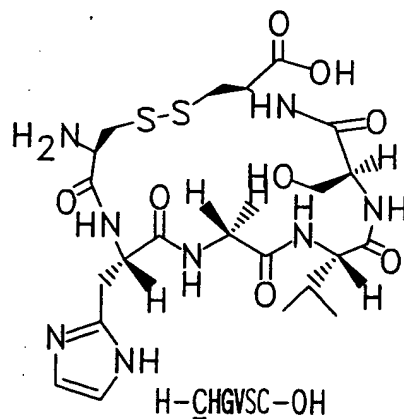
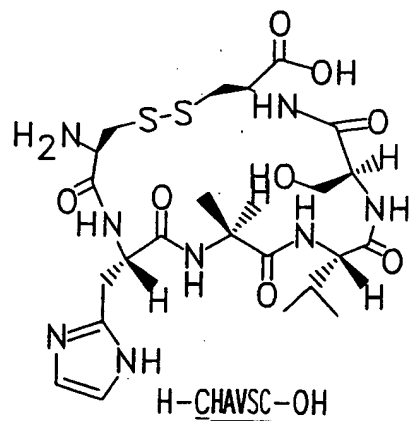
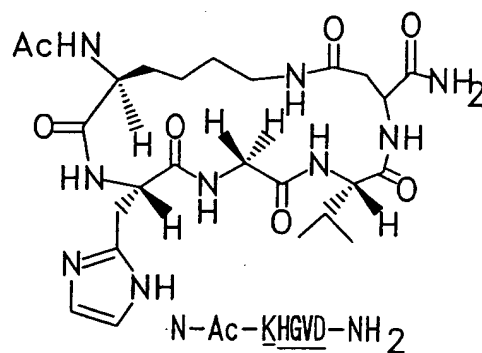
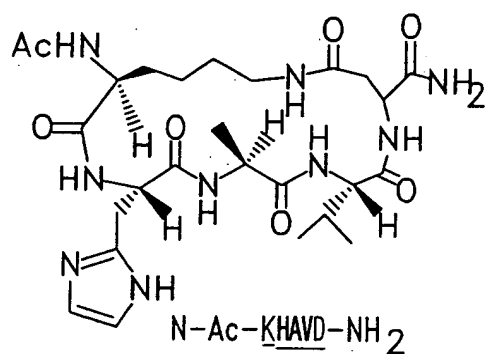
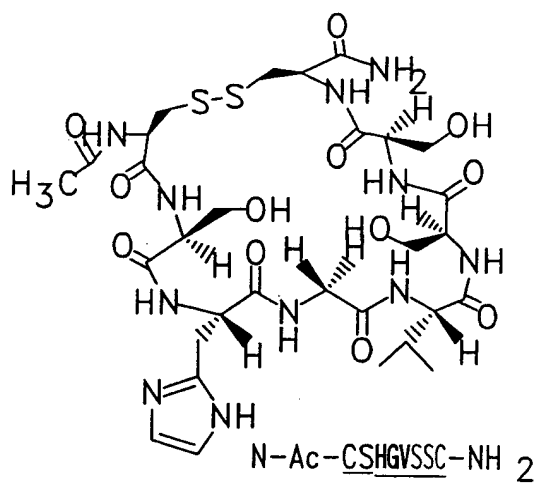
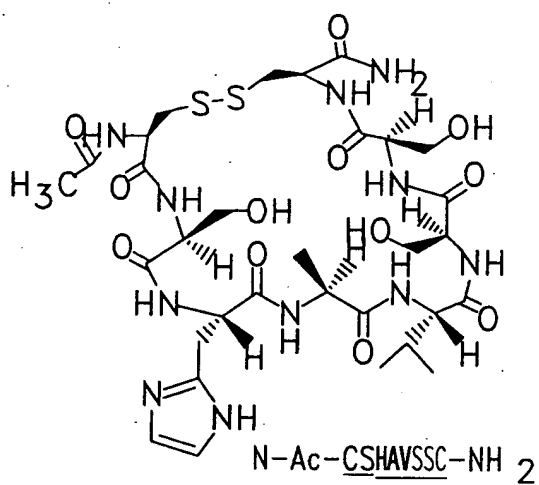
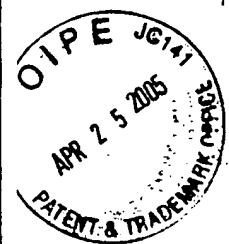


Fig. 3C

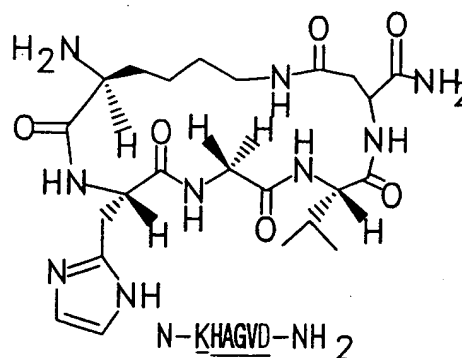
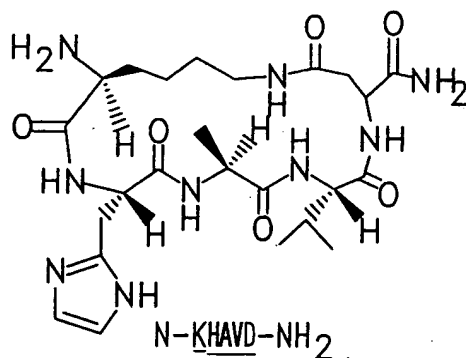
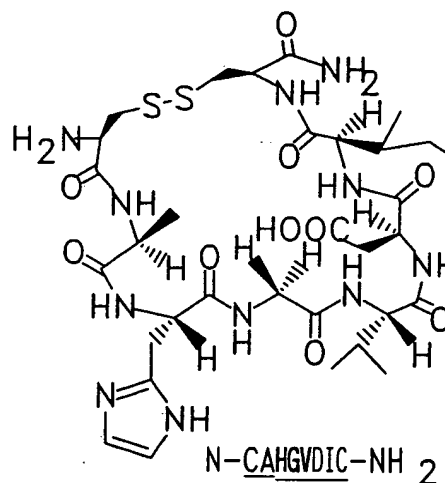
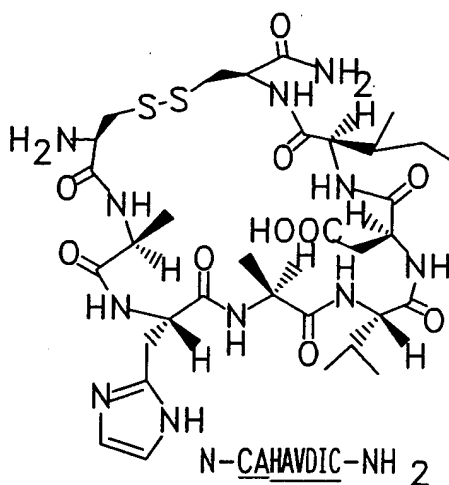
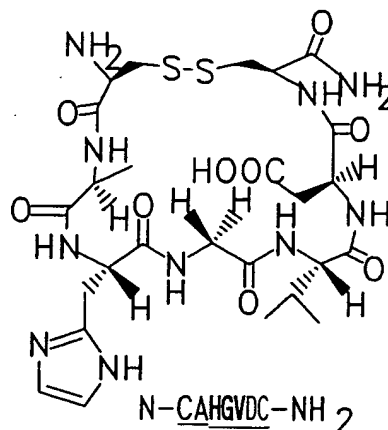
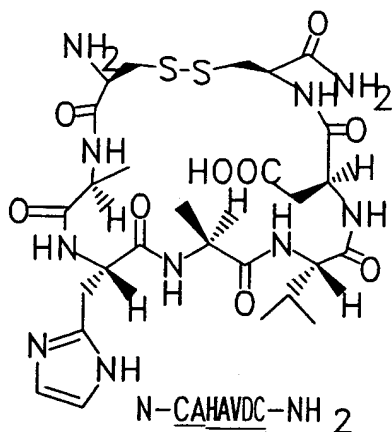
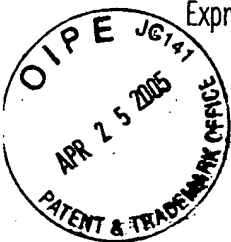
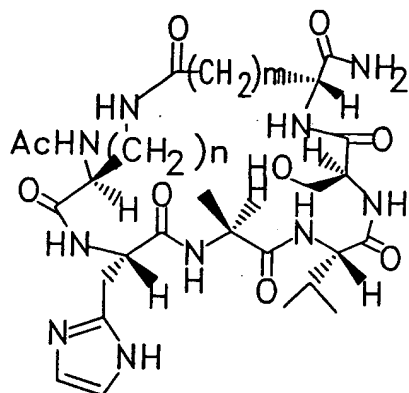
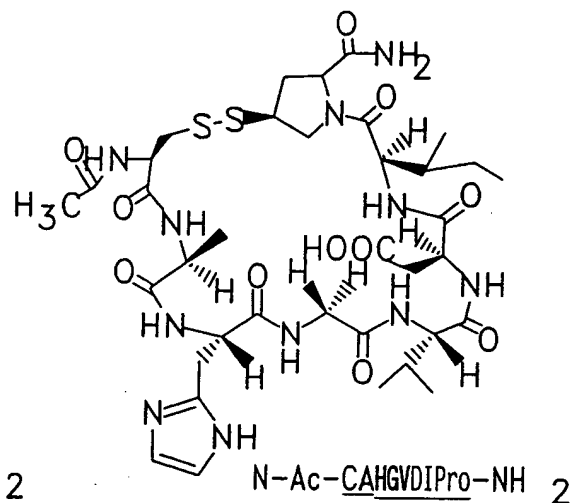
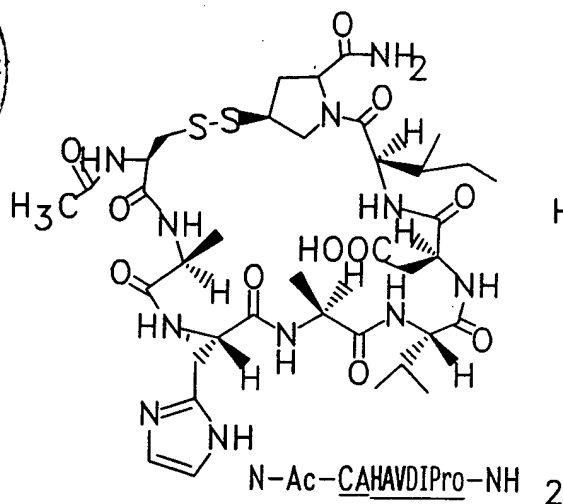
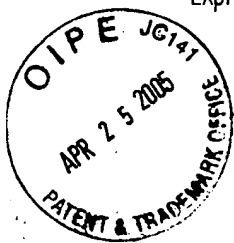
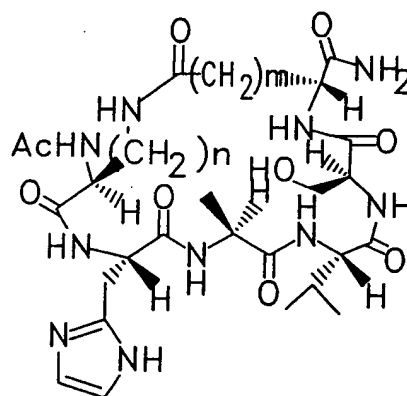


Fig. 3D



A_2B_4 = 2,4-diaminobutyric acid
 N-Ac-(A_2B_4)HAVSG-NH₂ n=3, m=2
 N-Ac- O_m HAVS-NH₂ n=2, m=3



N-Ac-(A_2B_4)HAVSG-NH₂ n=3, m=2
 N-Ac- O_m HAVS-NH₂ n=2, m=3

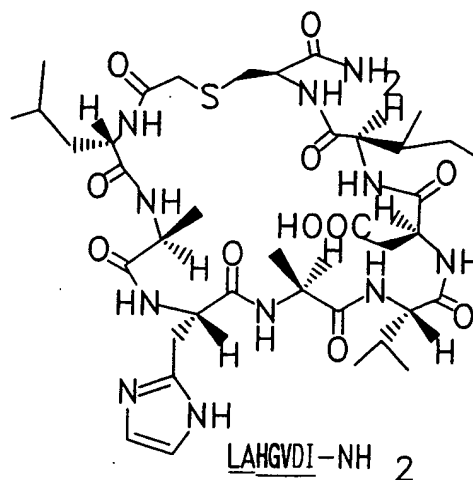
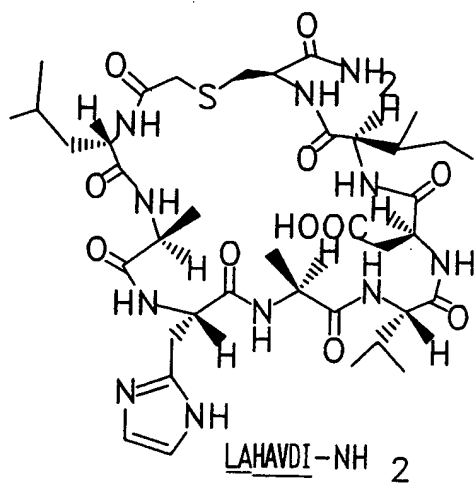


Fig. 3E

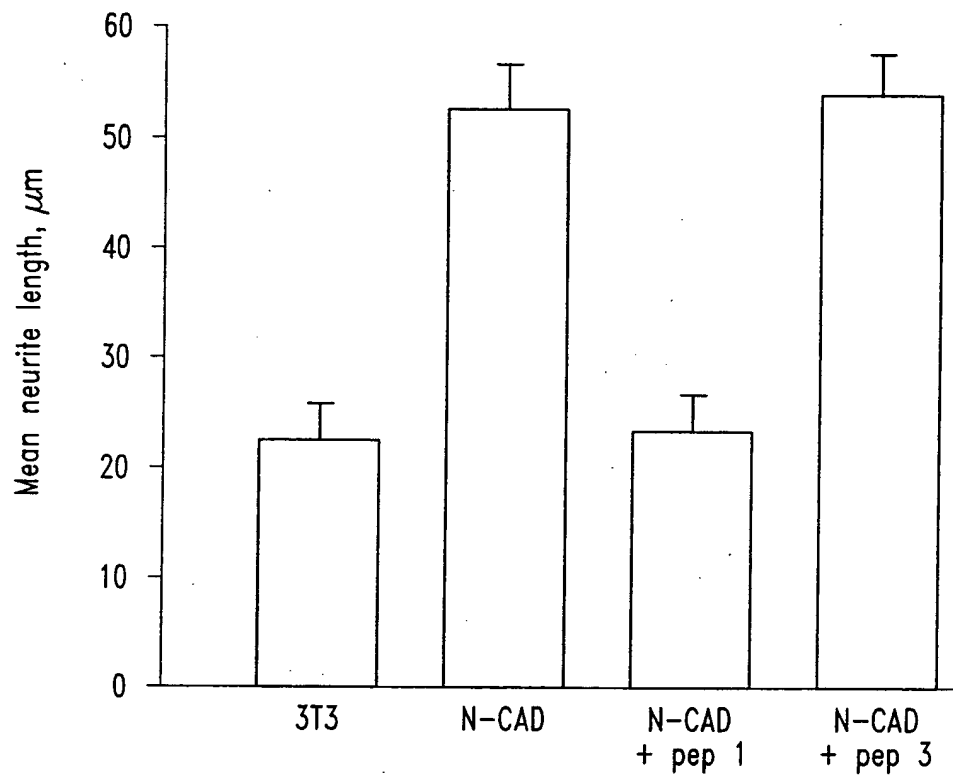
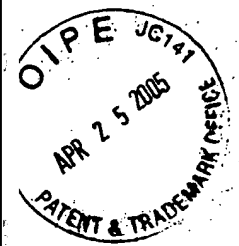


Fig. 4

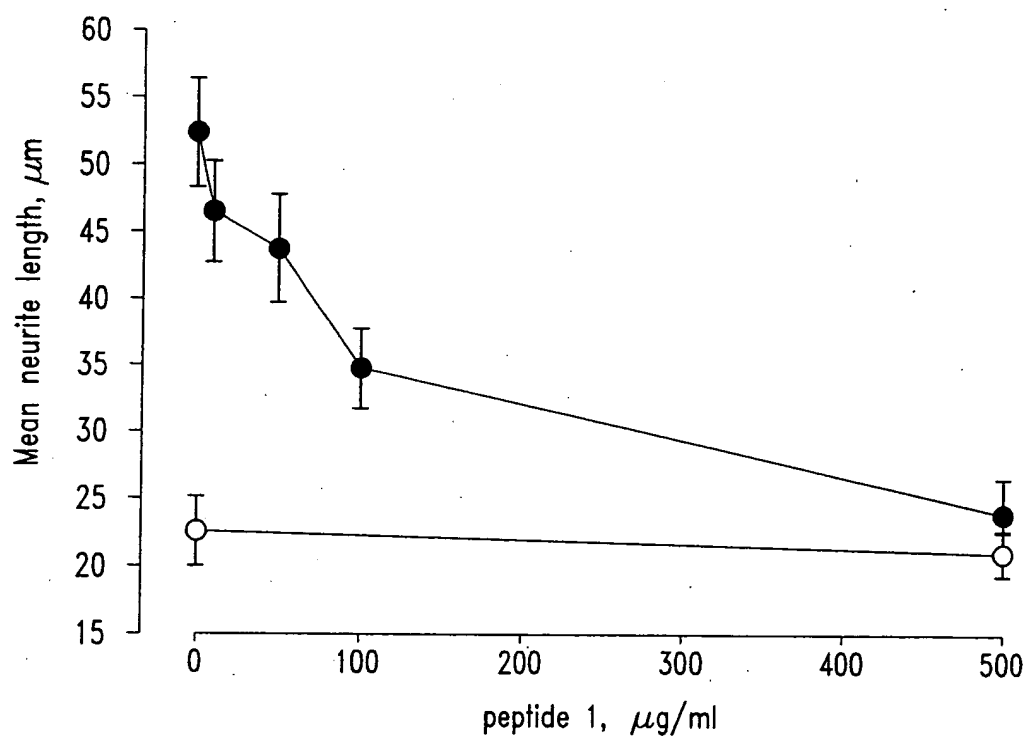
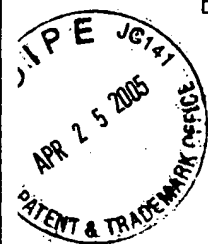


Fig. 5

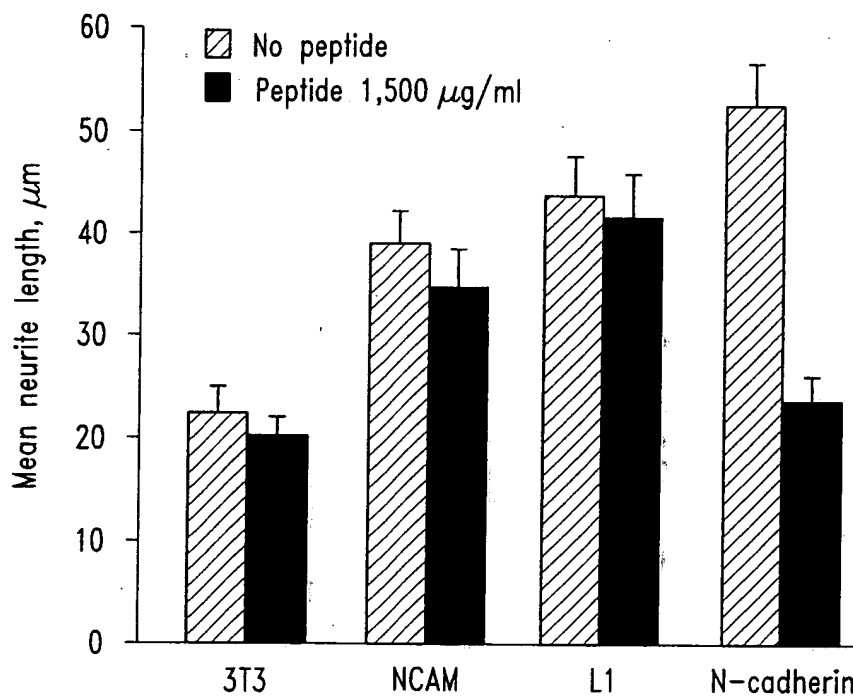
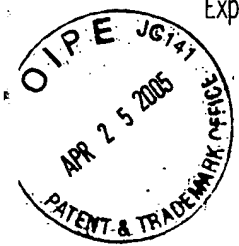


Fig. 6

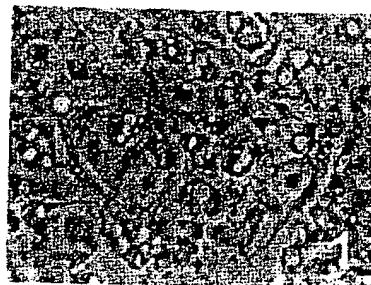
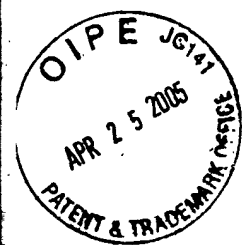


FIG. 7A

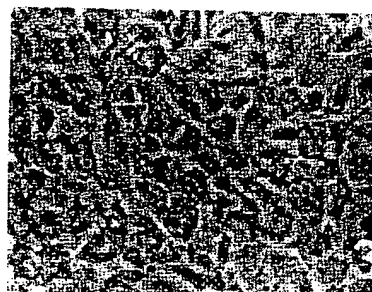


FIG. 7B



FIG. 7C

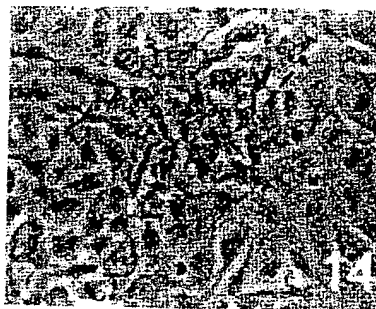
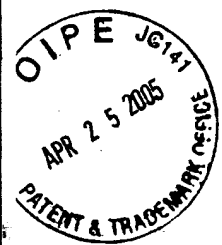


FIG. 8A

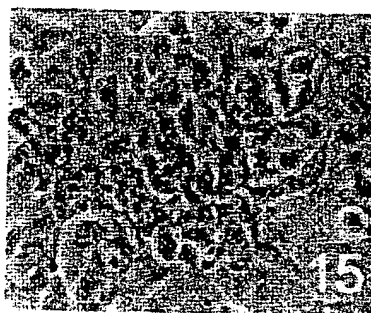


FIG. 8B



FIG. 8C



FIG. 9A

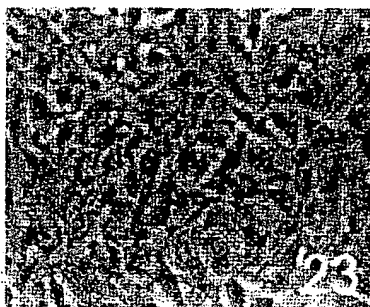


FIG. 9B



FIG. 9C



FIG. 10A



FIG. 10B

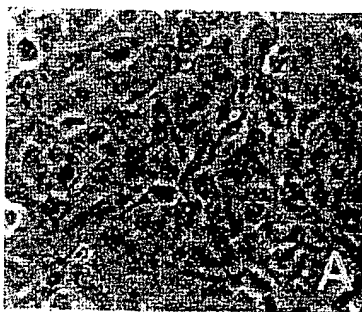


FIG. 10C

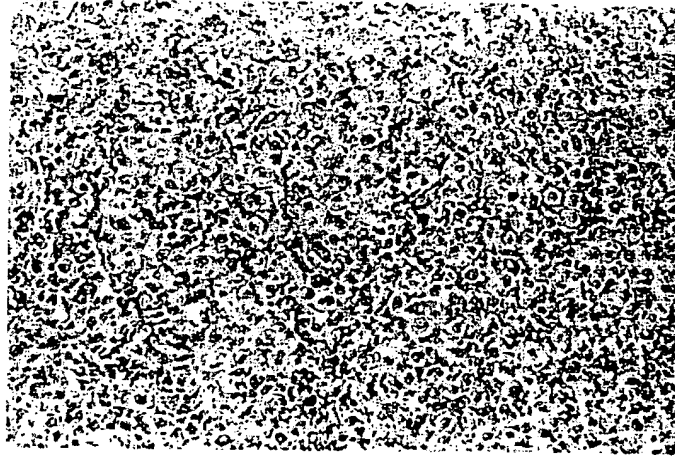
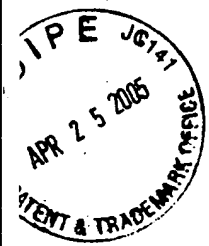


FIG. 11A

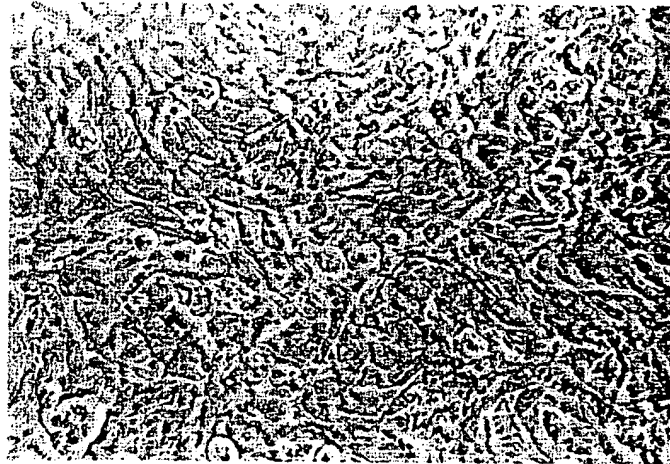


FIG. 11B

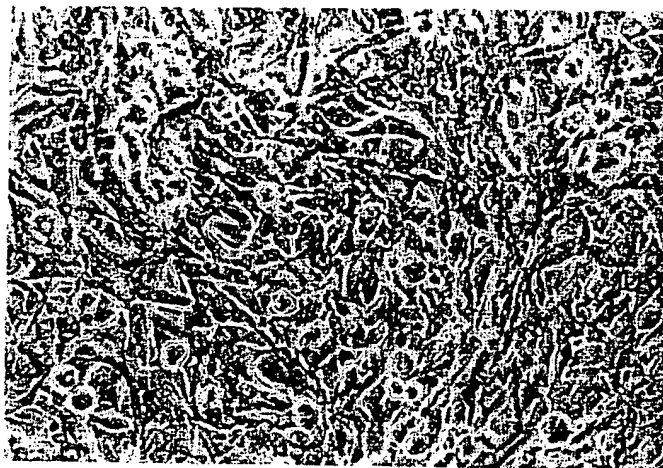


FIG. 11C

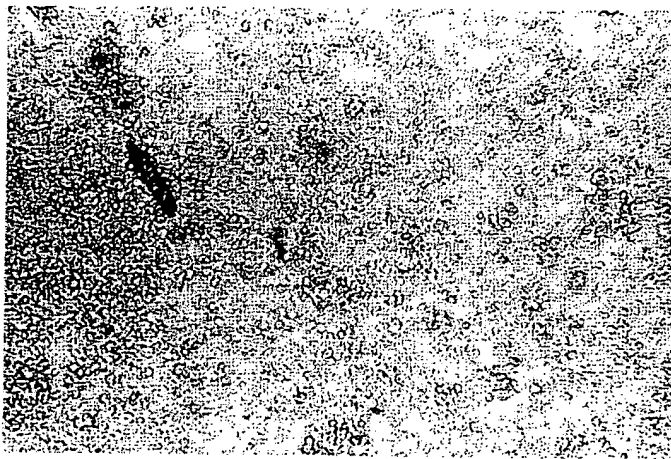


FIG. 11D

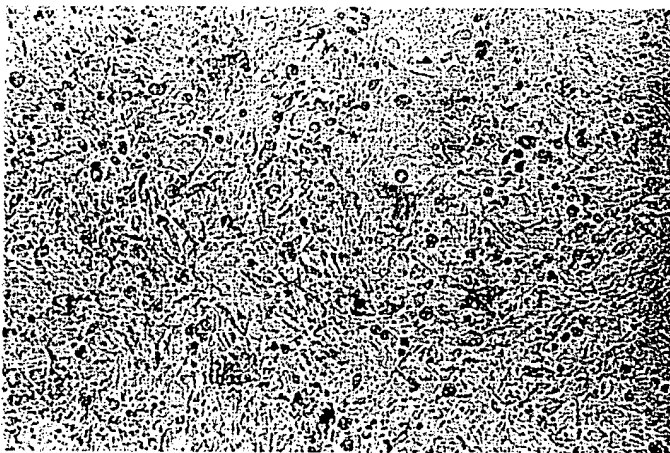


FIG. 11E

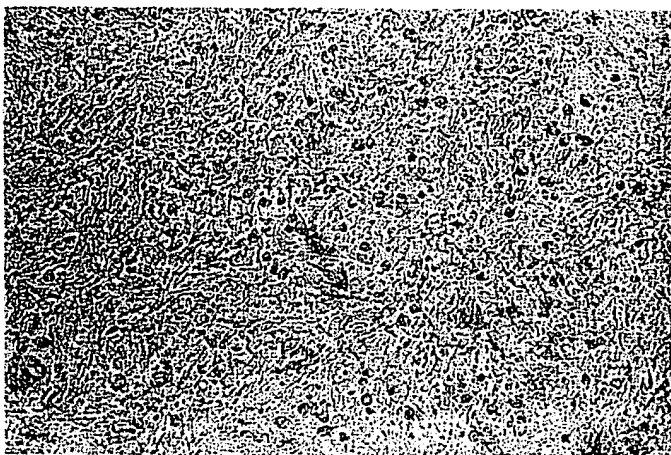


FIG. 11F

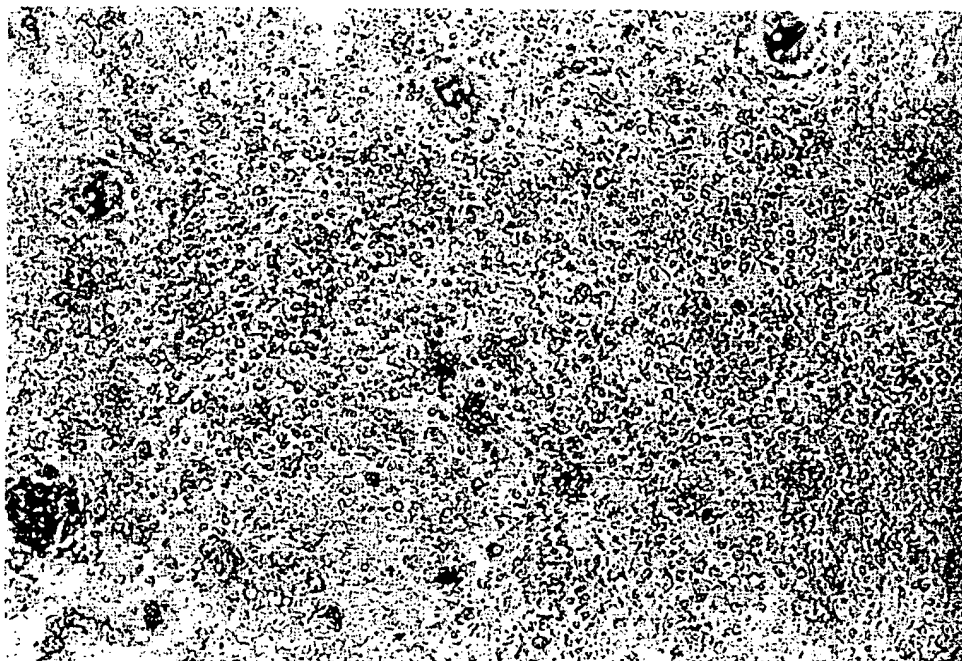


FIG. 12A

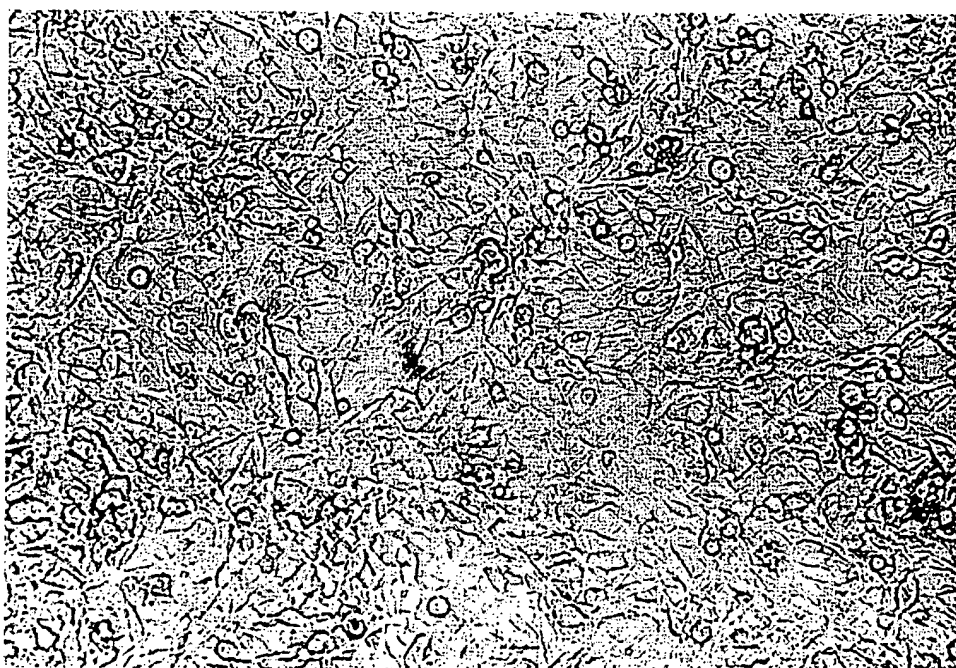


FIG. 12B



Untreated

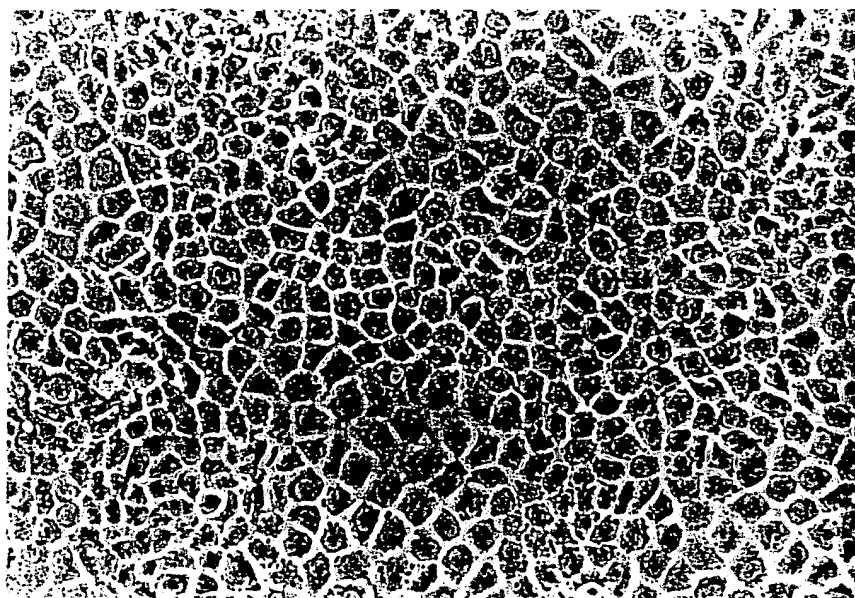


FIG. 13A

HAVS

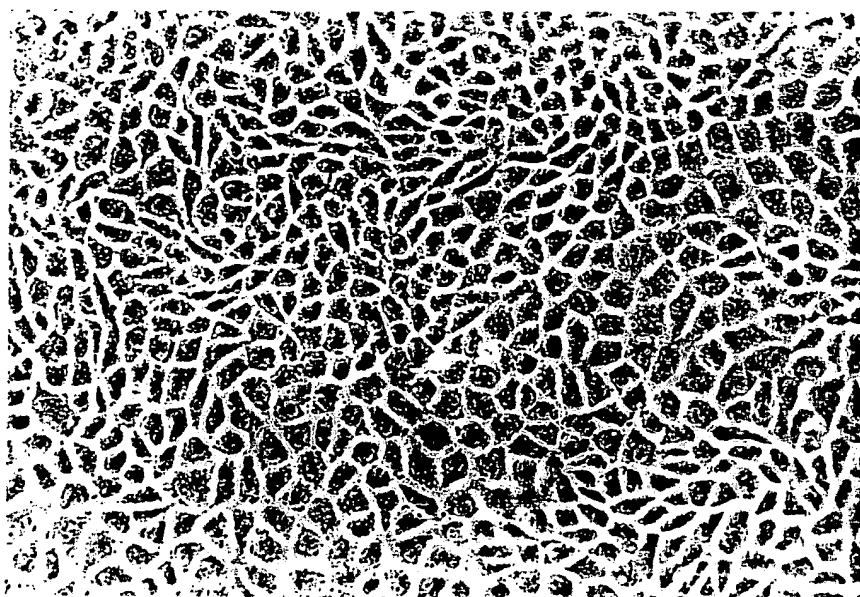
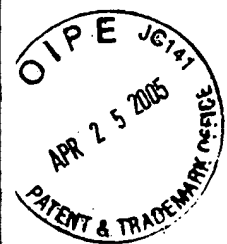


FIG. 13B



HGV

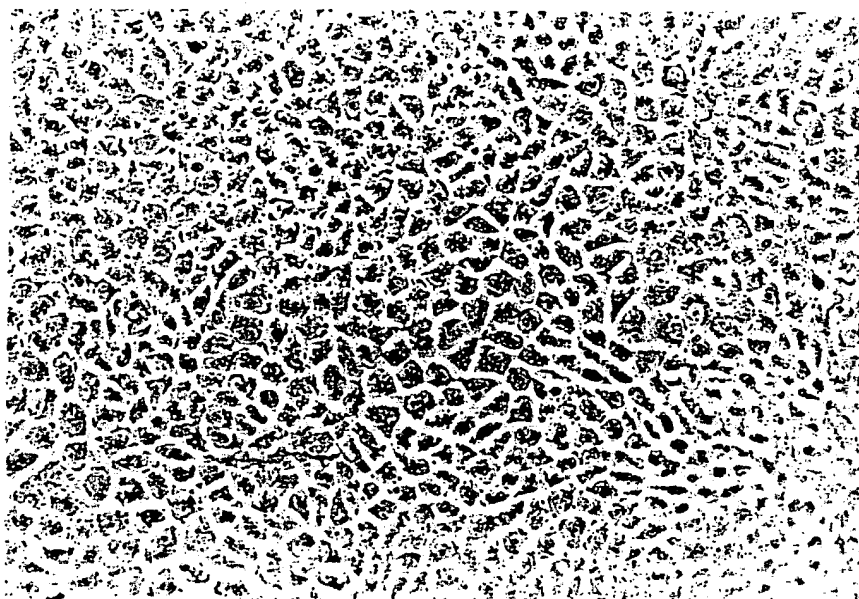


FIG. 13C

HAV

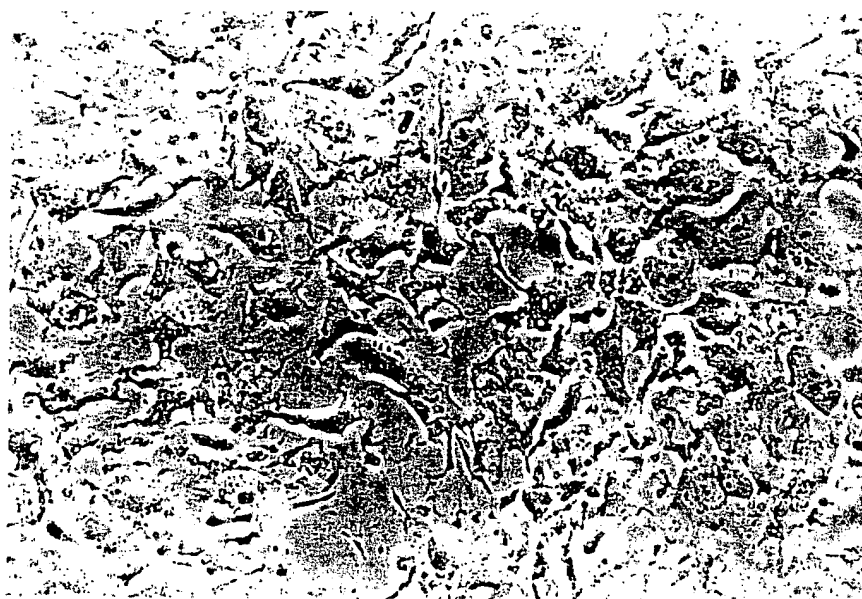


FIG. 13D

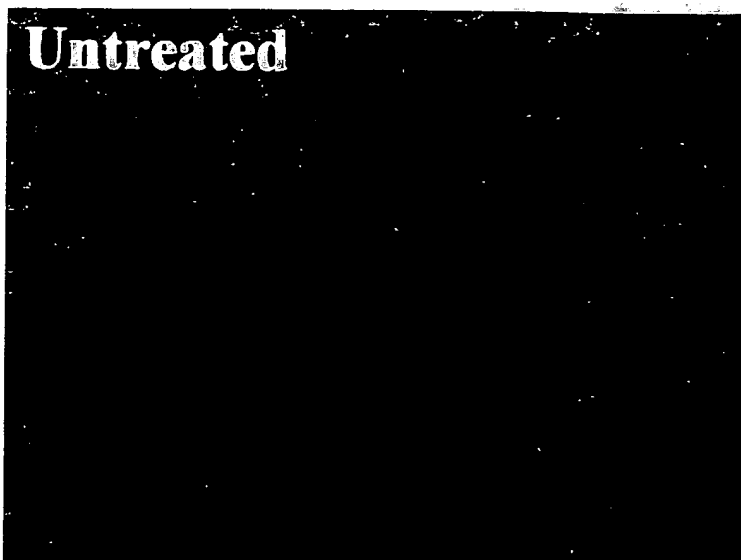


FIG. 14A

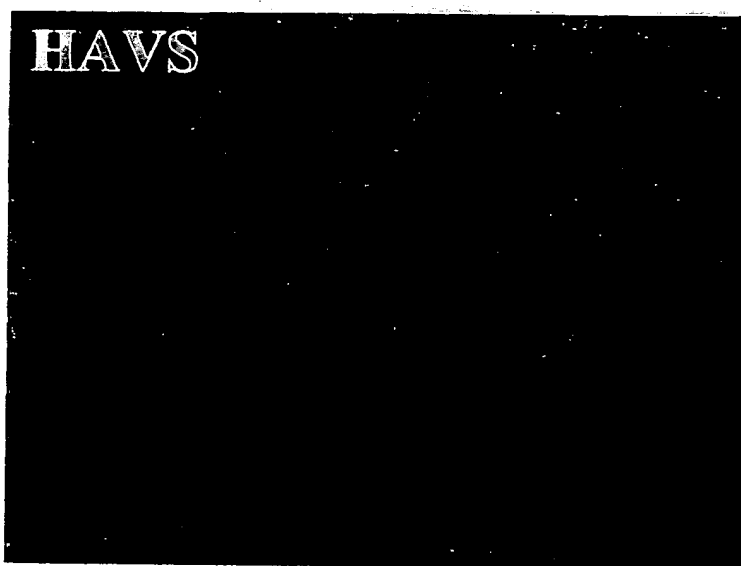


FIG. 14B

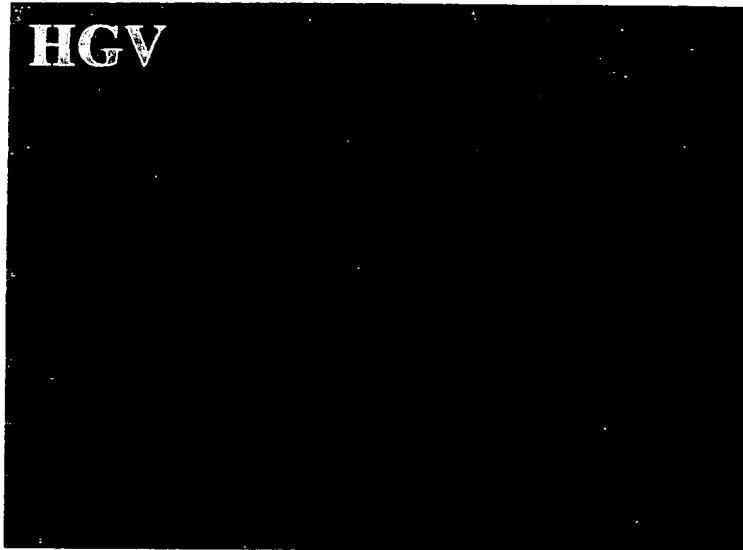
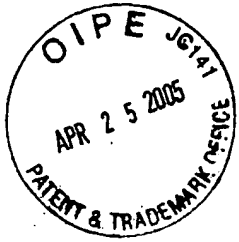


FIG. 14C

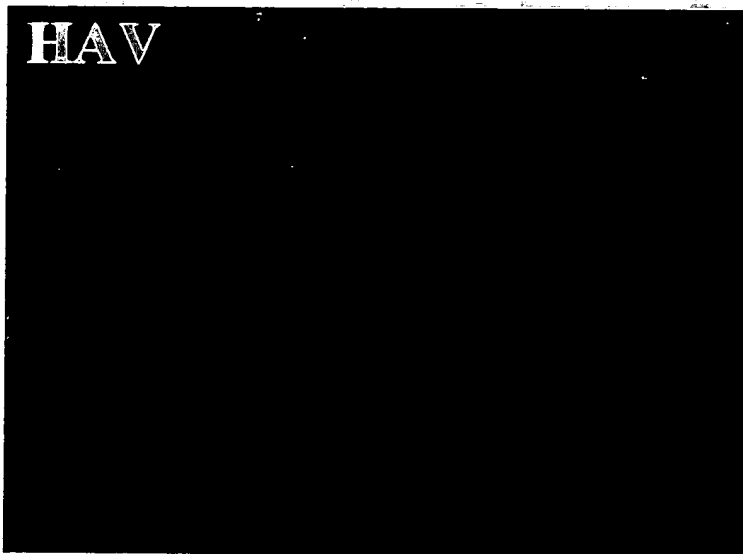


FIG. 14D

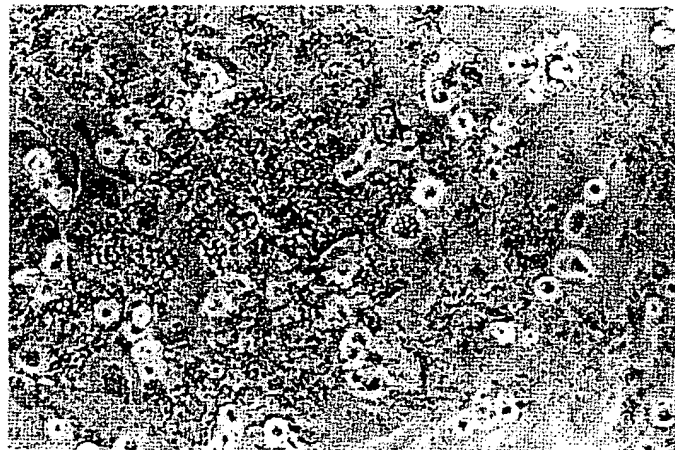


FIG. 15A

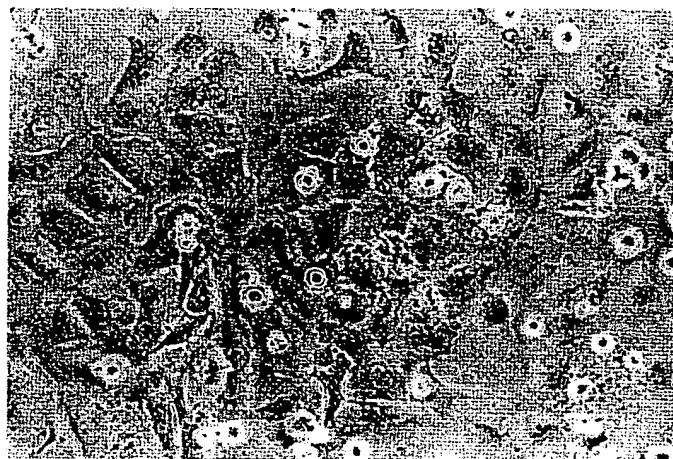


FIG. 15B

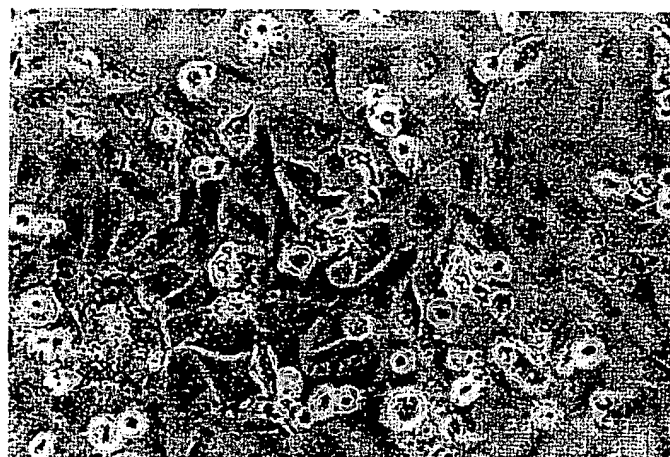


FIG. 15C

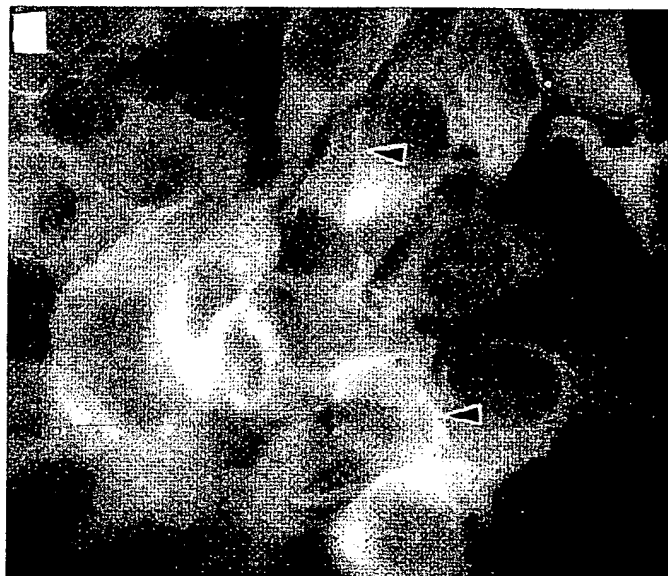


FIG. 16A

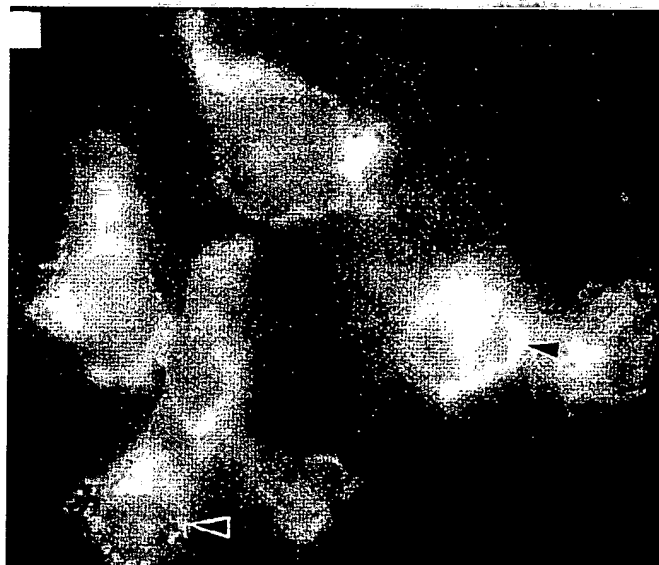


FIG. 16B

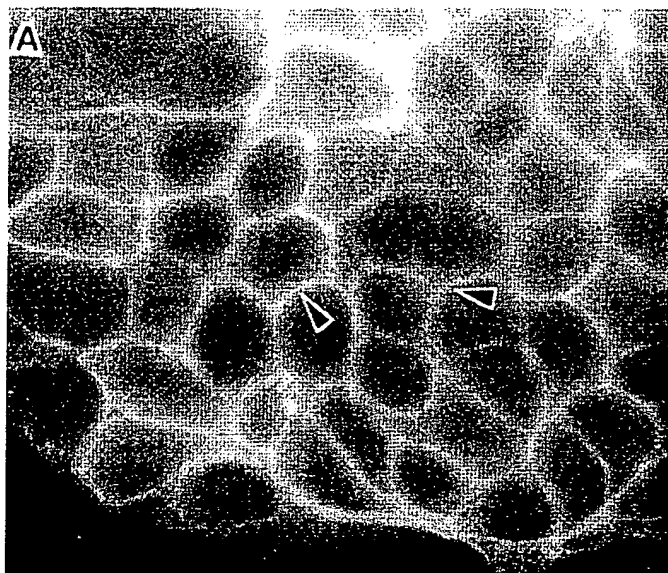


FIG. 17A

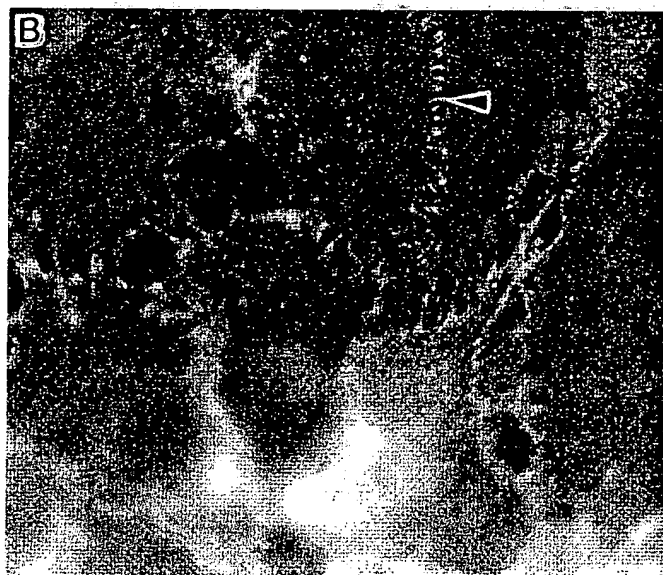


FIG. 17B